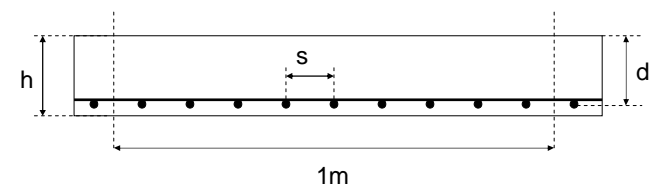




## Losas en 1 dirección

- Habitualmente para losas de relación largo/ancho ≥2
- Equivalente a viga (por unidad de ancho)
- Dominante en flexión



 $A_s$  = área de armadura en 1m

 $A_b =$ área de 1 barra

n = número de barras

$$A_{\rm s} = \frac{1000}{\rm s} \, A_b \Rightarrow \rho = \frac{A_b}{{\rm s}d} = \frac{A_{\rm s}}{1000d} \, \, \acute{\rm o} \, \frac{\rho_{\rm cuantia}}{\rm nutnima} = \frac{A_b}{{\rm s}h} = \frac{A_{\rm s}}{1000h}$$



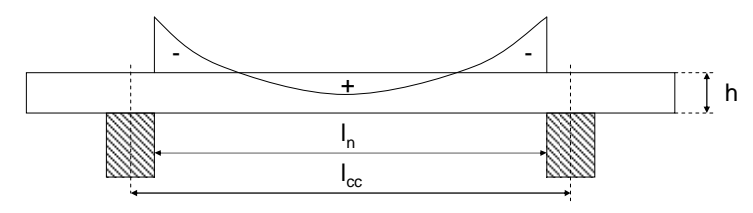
## Losas en 1 dirección

- Luz de cálculo (S.8.7)
  - Losa monolítica

Luz cálculo =  $l_n$ , si  $l_n \le 3m$ 

• Elementos no monolítico

Luz cálculo =  $l_n + h \le l_{cc}$ 



- Espesores mínimos de losa (S.9.5.2.1)

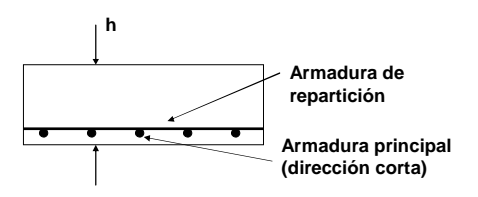
	Espesor mínimo de losa en	spesor mínimo de losa en 1 dirección	
	simplemente apoyadas	L/20	
	un extremo continuo	L/24	
	los dos extremos continuos	L/28	
Ci	en voladizo	L/10	

-Para hormigón de peso normal y  $f_y$ =420MPa -Para losas no conectadas a elementos que se dañen con grandes deformaciones

#### Losas en 1 dirección

- Armadura principal
  - Diseño en flexión
  - Espaciamiento (S.7.6.5)

$$s \le \begin{cases} 3h, h = \text{espesor de losa} \\ 450 \text{ mm} \end{cases}$$



- Armadura de repartición (S.7.12)
  - · Para temperatura y retracción de fraguado

• Cuantía mínima 
$$\rho_{\min} = \begin{cases} 0.0020, & \text{si } f_y = 280 \text{ o } 350 \text{ MPa} \\ 0.0018, & \text{si } f_y = 420 \text{ MPa} \end{cases}$$
 En términos del área bruta: 
$$\rho = A_s/bh$$

• Espaciamiento 
$$s \leq \begin{cases} 5h, \ h = \text{espesor de losa} \\ 450 \ mm \end{cases}$$



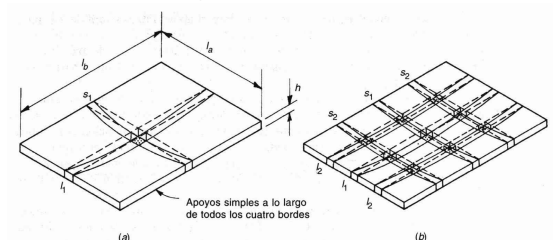
- Cuantía mínima de armadura en losa dada por la cuantía mínima de armadura de repartición (S.10.5.4)

### Losas en 2 direcciones

- Habitualmente para losas de relación largo/ancho ≤ 2 (I<sub>b</sub> lado largo, I<sub>a</sub> lado corto)
- Ventajas por sobre vigas en 1 dirección
  - · Mayor capacidad en flexión
  - · Capacidad en torsión
- Requisito (Método de los coeficientes)
  - Vigas suficientemente rígidas  $h \ge 3h_f$



- Distribución de cargas





## Losas en 2 direcciones

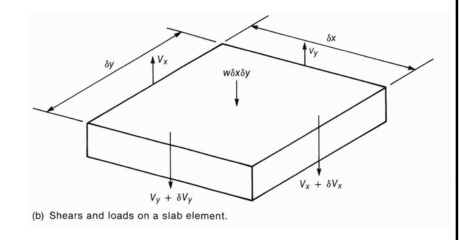
Equilibrio

$$\sum F \frac{\partial V_x}{\partial x} + \frac{\partial V_y}{\partial y} = -w$$

$$\sum M \frac{\partial m_y}{\partial y} + \frac{\partial m_{xy}}{\partial x} = V_y \frac{\partial m_x}{\partial x} + \frac{\partial m_{yx}}{\partial y} = V_y$$

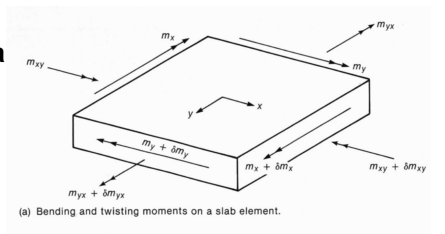
$$m_{xy} = m_{yx} \quad \left(\sigma_{xy} = \sigma_{yx}\right)$$

$$\Rightarrow \frac{\partial^2 m_x}{\partial x^2} + 2\frac{\partial^2 m_{xy}}{\partial x^2} + \frac{\partial^2 m_y}{\partial x^2} = -w$$



- Compatibilidad + ley constitutiva
- **Otros Métodos:** 
  - Líneas de fluencia Método de las franjas



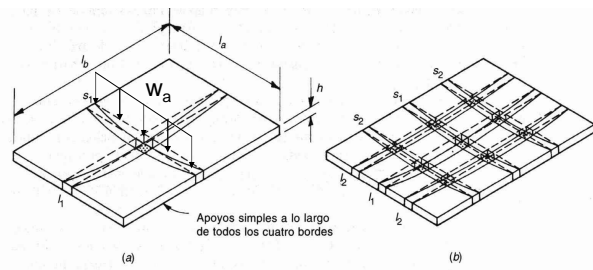


# Losas en 2 direcciones

- Distribución de cargas

• Viga elástica 
$$\delta = \frac{5wl^4}{384EI}$$

• Losa (aprox.)  $\Rightarrow \frac{5w_a l_a^4}{384EI} = \frac{5w_b l_b^4}{384EI}$ 



$$\Rightarrow \frac{w_a}{w_b} = \left(\frac{l_b}{l_a}\right)^4, \text{ si } \frac{l_b}{l_a} = 2 \Rightarrow \frac{w_a}{w_b} = 16$$

• Losa (si  $I_a = I_b$ )

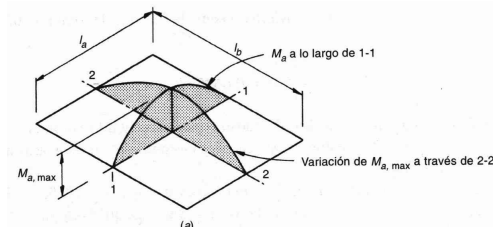
• Losa (si 
$$I_a = I_b$$
)
$$\Rightarrow w_a = w_b = w/2 \Rightarrow M_{aprox} = \frac{(w/2)l^2}{8} = 0.0625wl^2$$

$$M_{losa\ elástica} = 0.048wl^2 \Rightarrow \text{reducido por momento de torsión}$$
(losa elástica en 2 direcciones)

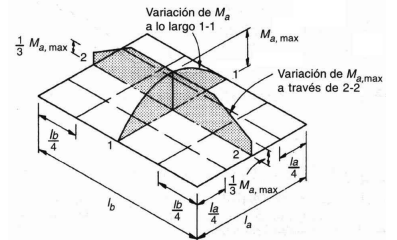


#### Losas en 2 direcciones

- Distribución de cargas
  - · Variación de cargas
    - M<sub>a</sub> en 1-1 y 2-2
    - M<sub>b</sub> en 1-1 y 2-2



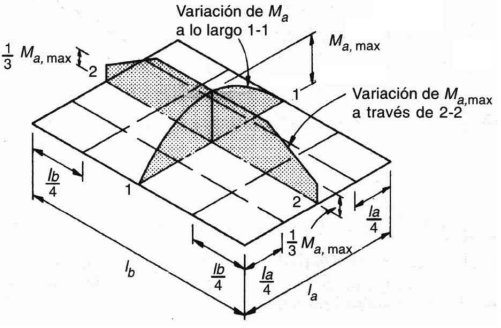
- · Redistribución inelástica
  - Fluencia franja central no constituye falla
  - Aumento de momento en zonas aledañas luego de fluencia de franja central
  - Mayor capacidad por distribución inelástica de momentos





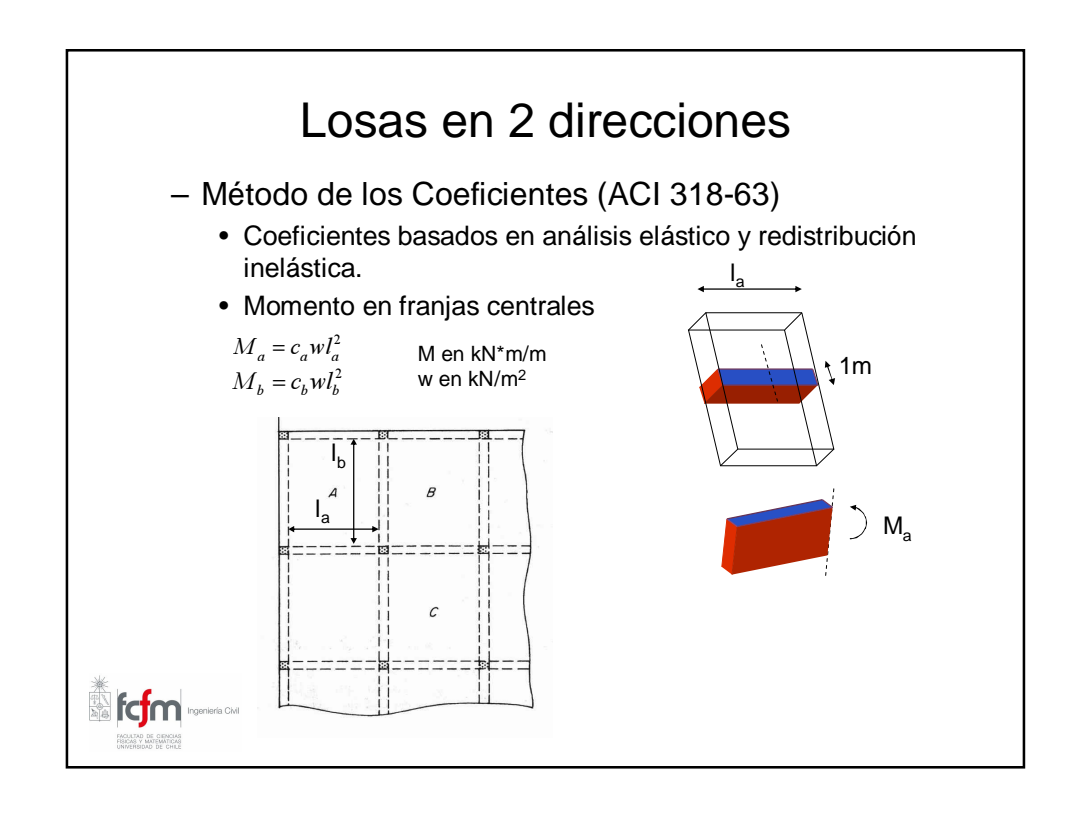
## Losas en 2 direcciones

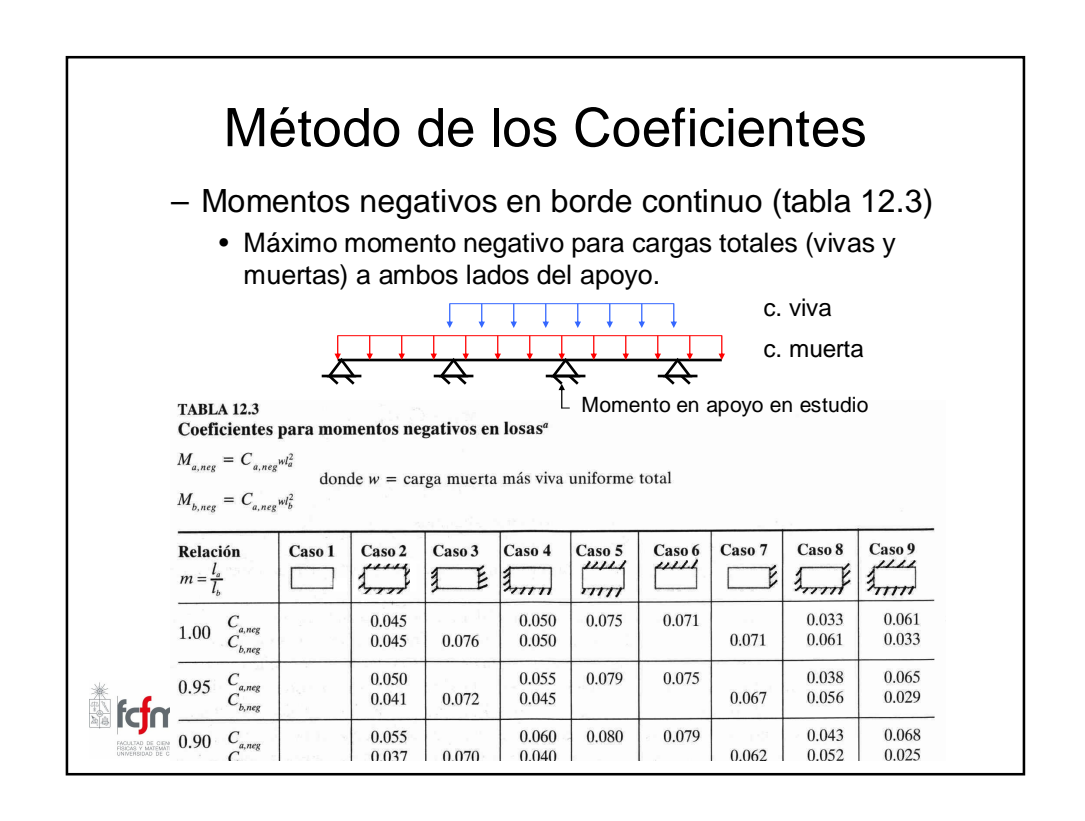
- Redistribución inelástica
  - Mayor capacidad por distribución inelástica de momentos
  - · Diseño por franjas
    - -Franja central (I/2) M<sub>a,max</sub>
    - -Franja lateral (I/4+I/4) 2/3M<sub>a,max</sub> (recom.)
    - -Análogo para M<sub>b</sub>



- Métodos de diseño
  - Método de diseño directo (S.13.6, ACI 318-05)
  - Método del marco equivalente (S.13.7, ACI 318-05)
  - Método de los coeficientes (ACI 318-63), común por su simplicidad y permitido por ACI 318-05 (S.13.5.1)





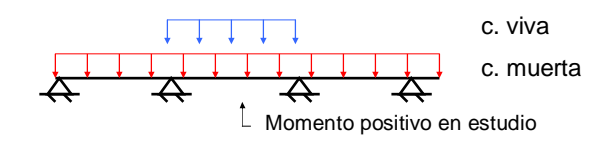


## Método de los Coeficientes

- Momentos negativos en borde discontinuo
  - Momento teórico es cero, pero la alta rigidez de las vigas de borde generan momentos negativos.

$$M_{a,neg} = \frac{1}{3} M_{a,pos} \qquad M_{b,neg} = \frac{1}{3} M_{b,pos}$$

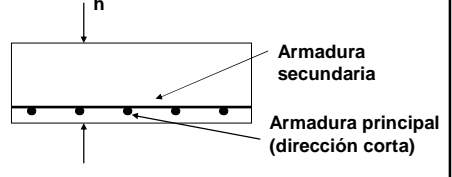
- Momentos positivos
  - carga muerta → mínimas rotaciones en apoyos (tabla 12.4)
  - carga viva → rotaciones en apoyos (tabla 12.5)
  - · Momento combinado de ambas cargas





# Método de los Coeficientes

- Esfuerzo de corte
  - Capacidad al corte del hormigón (\( \psi Vc \)).
  - Proporción de carga de corte dada por Tabla 12.6
- Espesor de losa
  - Espesor sugerido (h)
  - Corte y deflexiones deben chequearse
- $h = \frac{\text{perimetro de losa}}{180 \text{mm}} \ge 90 \text{mm}$
- Distribución de armadura
  - Principal vs. Secundaria
  - Franja Central vs. Laterales
  - Espaciamiento (S.13.3.2)  $s \le 2h$



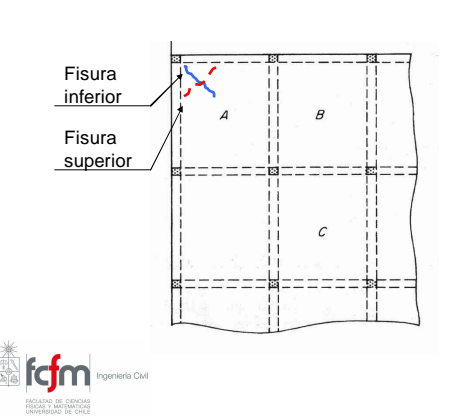
• Cuantía mínima (temperatura y retracción de fraguado) (S.13.3.1)

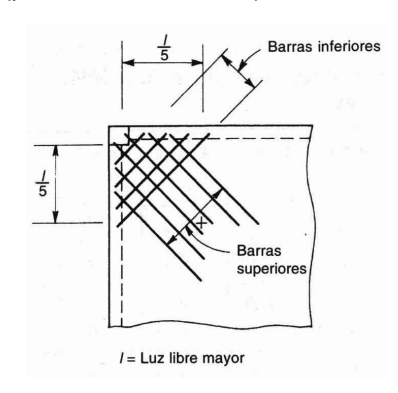


$$\rho_{\text{min}} = \begin{cases} 0.0020, \text{ si } f_{\text{y}} = 280 \text{ o } 350 \text{ MPa} \\ 0.0018, \text{ si } f_{\text{y}} = 420 \text{ MPa} \end{cases}$$
 En términos del área bruta:  $\rho = A_{\text{s}} / \text{bh}$ 



- Armadura Especial de Esquinas Exteriores
  - · Refuerzo adicional para resistir esfuerzos torsionales
  - Refuerzo (ambas direcciones) con capacidad equivalente al momento máximo positivo (por unidad de ancho) en la losa





## Método de los Coeficientes

- Cálculo aproximado de deflexiones
  - Deflexiones medias respecto del lado largo y corto basado en momento máximo positivo
  - Carga Viva (Tabla 12,5)



• Carga Muerta (Tabla 12.4)



• Inercia  $I_{e} \sim I_{g}$ . En general,  $I_{e} = \left(\frac{M_{cr}}{M_{a}}\right)^{3} I_{g} + \left[1 - \left(\frac{M_{cr}}{M_{a}}\right)^{3}\right] I_{cr} \leq I_{g}$ 

Deformaciones por fluencia lenta  $\xi_{max}$ = 3.0 (ACI 318-95) = 2.0 (ACI 318-05)

